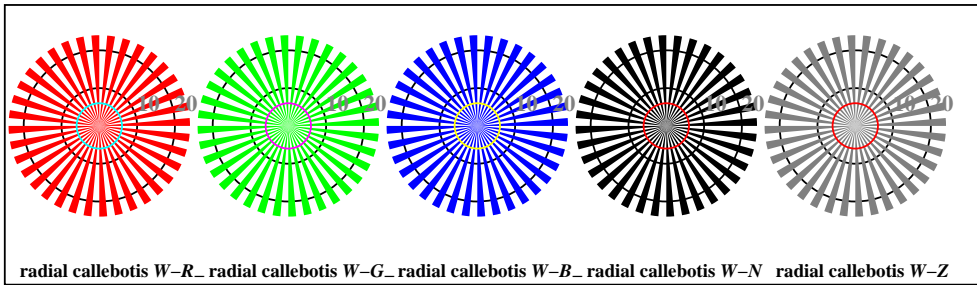
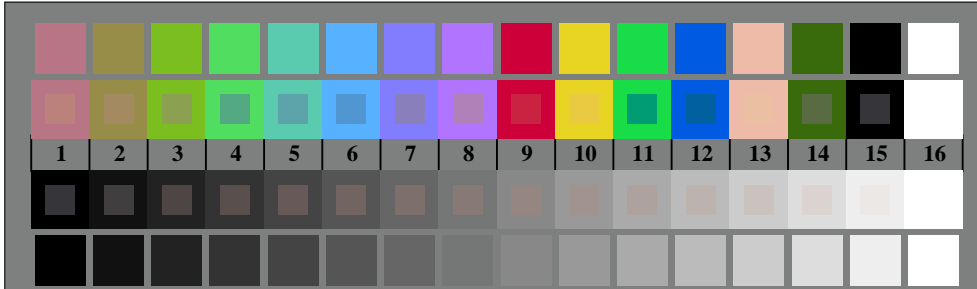




RF960-3, Fig. D1W-: le motif fleuri, 14 CIE test couleurs et 2 + 16 gris étapes (sf); PS operator 3 colorimage

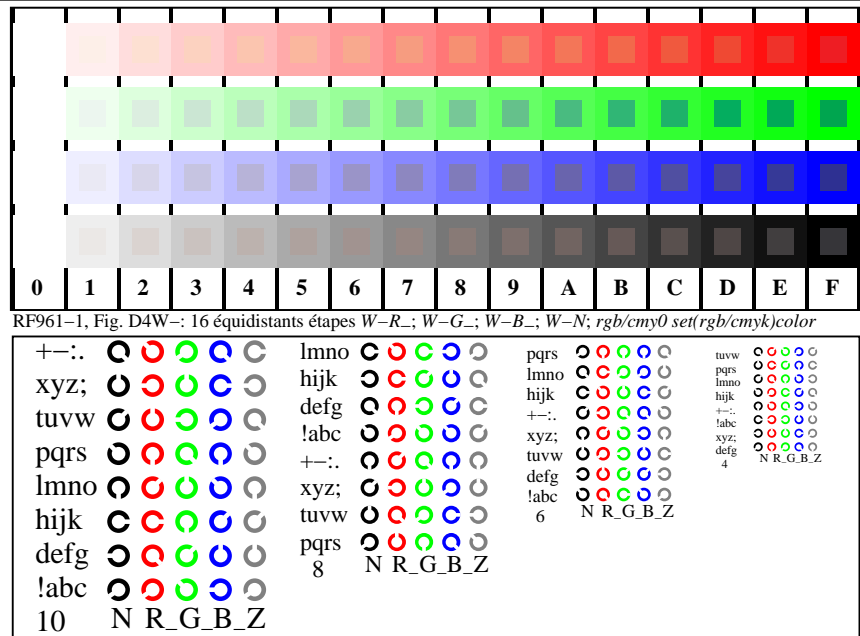


RF960-5, Fig. D2W-: radial callebotis W-R_; W-G_; W-B_; W-N; PS operator $rgb \rightarrow rgb_setrgbcolor$

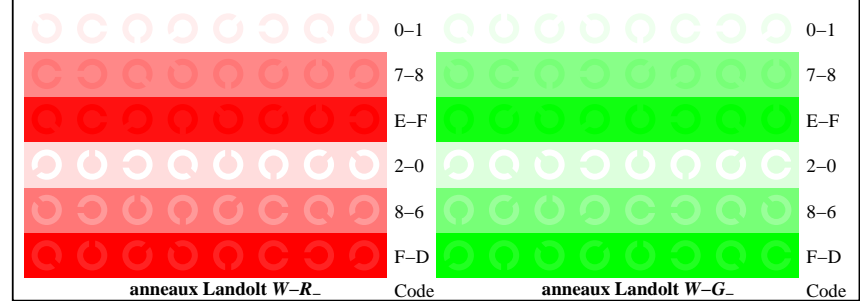


RF960-7, Fig. D3W-: 14 CIE test couleurs et 2 + 16 gris étapes (sf); $rgb/cmky0 set(rgb/cmky)color$

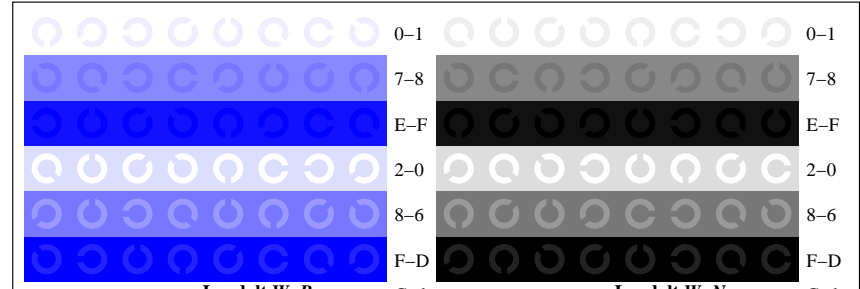
graphique RF96; 4(ISO/IEC 15775 + ISO/IEC TR 24705)
 chromatic graphique de test RGB



RF961-3, Fig. D5W-: code et Landolt anneauN; R_-; G_-; B_-; Z; PS operator $rgb \rightarrow rgb_setrgbcolor$



RF961-5, Fig. D6W-: anneaux Landolt W-R_; W-G_; PS operator $rgb setrgbcolor$



RF961-7, Fig. D7W-: anneaux Landolt W-B_; W-N; PS operator $rgb setrgbcolor$

entrée: $rgb/cmky -> w/rgb/cmky_-$
 sortie: aucun changement